

Glaukomdiagnostik

Glaucoma diagnosis

Redaktion: E.M. Hoffmann

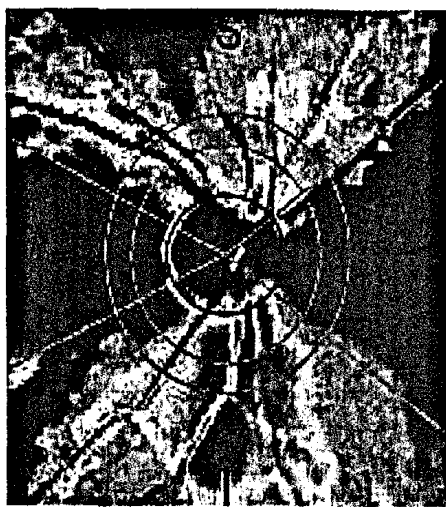
- 674 Einführung zum Thema: Neue Möglichkeiten in der Glaukomdiagnostik**
Introduction to the topic: New approaches to the diagnosis of glaucoma
E.M. Hoffmann
- 676 Messung des Augeninnendrucks (Tonometrie) mit unterschiedlichen Verfahren**
Measuring intraocular pressure by different methods
J. Lamparter · E.M. Hoffmann
- 683 Papillenfotografie und retinale Nervenfaserschichtfotografie**
Optic disc photography and retinal nerve fiber layer photography
E.M. Hoffmann
- 687 Glaukomdiagnostik und Verlaufskontrolle mit dem Heidelberg Retina Tomograph**
Glaucoma diagnosis and follow-up using the Heidelberg Retina Tomograph
E.M. Hoffmann · J. Lamparter · T. Schmidt · A. Schulze
- 696 Glaukomdiagnostik mittels Scanning-Laser-Polarimetrie**
Glaucoma diagnosis using scanning laser polarimetry
E.M. Hoffmann · A. Schulze
- 702 Neue Möglichkeiten der hochauflösenden optischen Kohärenztomographie in der Glaukomdiagnostik**
New options of high resolution optical coherence tomography in glaucoma diagnostic
A. Schulze · J. Lamparter · E.M. Hoffmann
- 709 Frequenzverdopplungsperimetrie. Neue Methode zur Untersuchung glaukomatöser Gesichtsfeldausfälle**
Frequency-doubling technology. A new method for determining glaucomatous visual field defects
J. Lamparter · A. Schulze · E.M. Hoffmann

■ **Originalien** Original papers

- 714 Vergleich von Parametern der zeitaufgelösten Autofluoreszenz bei Gesunden und Patienten mit früher AMD**
Comparison of parameters of time-resolved autofluorescence between healthy subjects and patients suffering from early AMD
D. Schweitzer · S. Quick · S. Schenke · M. Klemm · S. Gehlert · M. Hammer · S. Jentsch · J. Fischer
- 723 Biometrie des vorderen Augensegmentes mittels optischer Kohärenztomographie. Evaluierung verschiedener Geräte und Analyseprogramme**
Biometry of the anterior segment using optical coherence tomography. Evaluation of different devices and analysis programs
A. Viestenz · S. Vogt · A. Langenbacher · A. Viestenz · S. Walter · W. Behrens-Baumann

■ **Kasuistiken** Case reports

- 729 Retinochorioidopathie nach intravitrealer Anti-VEGF-Behandlung**
Retinochorioidopathy after intravitreal anti-VEGF treatment
M. Maier · N. Feucht · I. Lanzl · P. Kook · C.P. Lohmann
- 735 Multiple familiäre Trichoepitheliome (Brooke-Syndrom). Eine seltene Genodermatose mit möglicher periokulärer Manifestation**
Multiple familial trichoepithelioma (Brooke's syndrome). A rare autosomal dermatosis with possible periocular manifestation
F. Rensch · B. Harder · M. Goebeler · W. Back · J.B. Jonas · F. Schlichtenbrede



Mit Hilfe der Scanning-Laser-Polarimetrie erfolgt eine Messung der retinalen Nervenfaserdicke. Die neueste ECC-Technologie verspricht hier nach ersten Untersuchungen eine verbesserte diagnostische Trennschärfe ▶ Seite 696



751 Akute Retinanekrose

Acute retinal necrosis
A. Gandorfer · S. Thureau

760 CME-Fragebogen

Questionnaire

■ **Bild und Fall** Photo essay

740 Beidseitige Panuveitis mit Papillenschwellung

Bilateral panuveitis with papillary swelling
M. Pietzsch · A. Kutschan · A. Hager · W. Wiegand

746 Intermittierendes Hebungsdefizit

Intermittent elevation deficiency
M. van Waveren · H. Jäggle

■ **Verschiedenes** Miscellaneous

764 Termine Forthcoming meetings

768 Impressum Imprint